

Karbonatne kamnine Pece

Carbonate rocks of Mt. Peca, Slovenia

Bernarda BOLE

Geološki zavod Slovenije
Dimičeva 14, SI-1001 Ljubljana, Slovenija

Ključne besede: grebenski apnenec, karnij, wettersteinski razvoj, sedimentologija, Peca, Karavanke, Slovenija

Key words: reef limestone, Carnian, Wetterstein facies, sedimentology, Peca, Karavanke Mts., Slovenia

Kratka vsebina

Karbonatni masiv Pece gradita wettersteinski apnenec in dolomit v zagrebenskem in grebenskem razvoju ladinjsko-karnijske starosti. Apnenec v zagrebenskem razvoju je plastovit in po strukturi pripada intrabiomicritu, intrabiopelmicritu ter loferitu. Nastajal je v plitvem in mirnem sedimentacijskem okolju z občasnimi kratkotrajnimi okopnitvami. Za grebenski facies so značilne korale, alge, spongiye in drugi grebenotvorni organizmi. Večji del apnenca Pece je rahlo dolomitiziranega, grebenski del pa je še močno rekristaliziran. Glede na fosilno združbo uvrščamo grebenski apnenec v karnijsko, v glavnem cordevolsko starost.

Abstract

The carbonate massif of Mt. Peca consists of Ladinian-Carnian Wetterstein limestone and dolomite of backreef and reef development. The backreef limestone is bedded and with intrabiomicrite, intrabiopelmicrite and loferite textures. It was deposited in shallow and quiet sedimentation environment with short periodic emergences. The reef facies is characterized by corals, algae, spongians and other reefbuilding organisms. The larger part of the Peca limestone is slightly dolomitized, and its reef part is in addition strongly recrystallized. With respect to fossil assemblage the reef limestone is attributed to Carnian, mainly to Cordevol.

Uvod

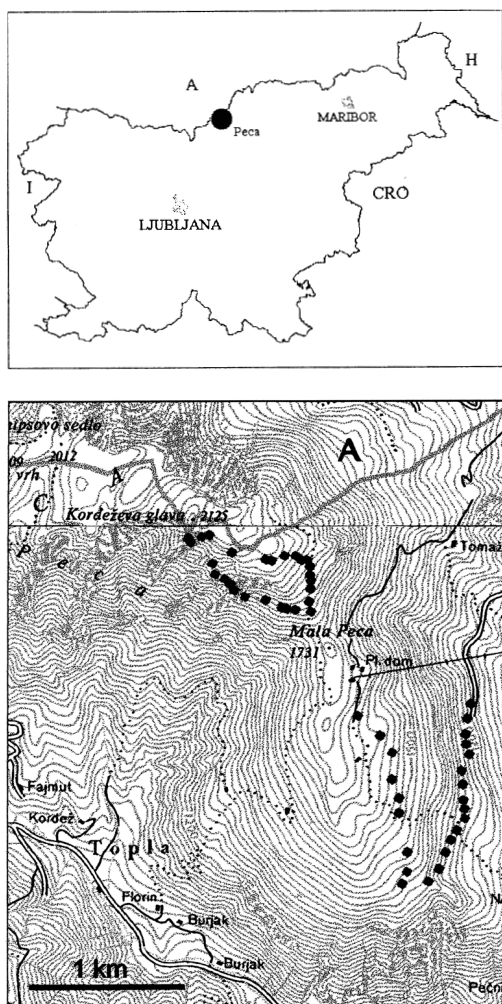
Pogorje Pece leži v vzvodnih Karavankah, kjer ga na severu omejujejo paleozojske metamorfne kamnine, na jugu pa granodioritni pas skupaj z metamorfnimi kamninami. Južno od Pece sledimo Plešivški in Šumahov prelom ter eno najbolj pomembnih tektonskih linij v Sloveniji – Periadriatski lineament. Ta poteka po dolini zgornjega toka reke Meže čez Koprivno do Ludranskega vr-

ha ter se nadaljuje proti Slemenu (Mioč & Žnidarčič, 1980).

Na tem območju leži pomembno svinčevocinkovo rudišče Mežica, ki je po 300 letih obratovanja danes v zapiranju. Zaradi gospodarskega pomena rudišča so v prejšnjih desetletijih dali prednost raziskavam rudnosnim kamninam – tako imenovanim wettersteinskim plastom, ki so na območju severnih Karavank razvite v treh facijah: zagrebenski in grebenski ter predgrebenski.

Celotna skladovnica wettersteinskih plasti sestoji izključno iz apnenecov in dolomitov, ki dosežejo debelino do 1200 m (Štruc, 1984).

Raziskave zajemajo zgornji del Pecinega pogorja (sl.1). S pomočjo geologa Mihe Pungartnika sem vzorcevala ob poti vzhodno in južno pobočje Pece, od nadmorske višine 1200 m do njene vrha – Kordeževe glave na 2125 m.



Sl. 1. Lega raziskanega območja Pece
Fig. 1. Location map of the investigated area

Vzorce sem glede na plastovitost in vsebnost fosilnih ostankov razdelila v dve skupini: v prvi so vzorci s plastovito teksturo in revni s fosili, zajeti od 1200 m (cestni useki)

do Planinskega doma na 1665 m, v drugi pa so vzorci masivnega apnenca in dolomiti-ziranega apnenca s pestro fosilno združbo. Te sledimo od Sedla do vrha Pece.

Dosedanje raziskave

Prvo pregledno geološko karto raziskanega območja je izdelal Teller (1896), ki je razčlenil triasne plasti. O posameznih značilnostih wettersteinskih plasteh in o njihovih faciesih pa je pisal Holler (1936). Vse nadaljnje raziskave so se odvijale v okviru iskanja rude. Berce in Hamrla (1953, neobjavljeno poročilo) sta izdelala prvo geološko karto območja Pece in Tople v merilu 1:10.000.

Eden izmed vidnejših raziskovalcev v zadnjih desetletjih na tem ozemlju je prav gotovo Štruc (1962, 1970a, 1970b, 1971), ki je podrobno prikazal stratigrafijo in tektoniko vzhodnih Karavank ter premirjal posamezne revirje mežiškega rudišča z rudiščema Bleiberg in Raibl. Nastanek karbonatnih kamnin in cinkovo svinčeve rude v anizijskih plasteh Tople je podal leta 1974, geološke in mineraloške značilnosti rude in prikamnine v mežiškem rudišču pa leta 1984. V zadnjem članku podaja tudi litološki razvoj wettersteinskih plasti na Peci.

Bauer (1970) je preučeval razvoj triasnih plasti in tektoniko severnega dela vzhodnih Karavank med Obirjem in Peco. Pungartnik (1977) je v diplomskem delu obravnaval splošne geološke razmere na južnem območju Pece. Ramovš (1977) je iz svojega geološkega sprehoda na Peco podal opis kamnin, ki si sledijo na poti proti vrhu. Pungartnik in sodelavci (1982) so sedimentološko preučevali litološko zaporedje karnijskih plasti v mežiških rudiščih in v Helenski grapi. Placer (1996) je pri študiju strukturne geneze mežiških rudišč odkril, da je masiv Pece narinjen proti vzhodu do severovzhodu na osrednji del mežiških rudišč, kar je hipotečno mogoče povezati z zmikanjem ob Periadriatskem lineamentu.

Rezultati

Apnenec od nadmorske višine 1200 m pa do planinskega doma (prva skupina) je svetlo rožnato sive barve. Pogosto ga prepletajo

kalcitne žilice, ki so mestoma obarvane z želevzovimi oksidi. S prostim očesom težko opazimo znake okamenelega življenja. Wettersteinski apnenec nad 1700 m nadmorske višine (druga skupina) pa je masiven, svetlo do temno sive barve ter vsebuje pestro fosilno združbo grebenotvornih organizmov.

Vzorci iz prve skupine po strukturi večinoma pripadajo intrabiopelmikritu, intrabiomikritu ter loferitu. Vsebujejo do 30 % alokemov, po Dunhamu jih uvrščamo med wackestone, mestoma pa tudi med packstone, redkeje v grainstone. Med fosilnimi ostanki so najbolj pogoste alge (*Codiaceae* in *Thaumatoporella*), sledi odlomki školjčnih lupin, foraminifere ter ehinodermi, mestoma pa še mikrogastropodi in posamezne korale. Na splošno so omenjeni vzorci bolj revni s fosili.

Od alokemov prevladujejo intraklasti, ki so povečini mikritni, biomikritni ter pelmikritni. So nepravilnih oblik, njihova velikost doseže do 5 mm. V vzorcih iz okoli 1600 m nadmorske višine sledimo tudi posamezne onkoide. Več plasti apnenca kaže stromatolitno teksturo (tab. 1, sl. 1), po kateri sklepamo na občasno medplimsko in nadplimsko okolje sedimentacije. Pogoste so še izsušitvene pore mm dimenzij in nepravilnih oblik. Pore zapoljuje kalcit, tu in tam pa dolosparit. Stromatolitne plasti je na nekaterih mestih zajela kasnodiagenetska dolomitizacija (tab. 1, sl. 3.), ki se kaže v 30 do 600 µm velikih dolomitnih romboedrih. Medzrnske pore zapoljuje sparitni kalcit, večkrat v dveh generacij A in B. A je obrobni cement, B pa mozaični sparit, ki se nahaja v osrednjih delih medprostorov. V več primerih opazimo, da so dolomitna zrna dedolomitizirana. Gre za ponovno kalcitizacijo kot produkt cirkulacije površinskih meteorskih vod skozi dolomit. V manjši meri so prisotne korozionske votlinice, velikosti od nekaj mm pa do nekaj cm, ki opozarjajo na kraje okopnitve in paleozakrasevanje. Zapoljujejo jih sparitna zrna subhedralnih in anhedralnih oblik. Apnenec je pogosto prepletten s kalcitnimi žilicami, mestoma pa so prisotni tudi stilolitni šivi (tab. 1, sl. 4).

Energijski indeks, ki je nizek do zmeren in ostale značilnosti preiskanih vzorcev kažejo, da se je sedimentacija wettersteinskega apnenca odvijala v dokaj mirnem plitvomorskem okolju, z občasnimi okopnitvami in manjšimi vplivi litorala. V podplimskemu

okolju so nastajali mikritni, sparitni in intrasparitni apnenci, v medplimskem okolju pa stromatolitni in onkoidni apnenci.

Apnenci, ki so bili zajeti od Sedla 1700 m do vrha Pece (Kordeževa glava) kažejo znake grebenskega razvoja. Makroskopsko so ti vzorci svetlo do temno sive barve in kažejo na pestro življensko okolje. V vsakem vzorcu najdemo ostanke grebenske favne. Sedimentološke in mikropaleontološke preiskave so pokazale, da po strukturi večina pripada intrabiosparitnemu, biointraonkoidnemu, biolitnemu (koralitu) ter redkeje biomikritnemu apnencu. Mikritna osnova je v večjem delu nadomeščena z drobnozrnatim sparitom. Od alokemov pogosto sledimo intraklaste predvsem mikritne, biomikritne ter pelmikritne, ki dosežejo velikost tudi do nekaj milimetrov. Skoraj v vseh vzorcih opazujemo onkoide kroglastih in sploščenih koncentričnih oblik, velikih do 1 cm. Večkrat se onkoidi združujejo v grozde (tab. 1, sl. 2). Njihova jedra so mestoma dolomitizirana. Onkoidi kažejo na sedimentacijski prostor s stalnim gibanjem vode, kjer je bila omogočena rast modrozeljenih alg. Lokalno so se znotraj sedimentacijskih prostorov pojavili litoralni pogoji, na katere opozarjajo kopoče neskeletnih alg ter loferitne lame z izsušitvenimi porami.

Prav gotovo so glavni in zelo zanimivi graditelji grebenskega apnanca alge, korale, spongije, stromatoporoidi, hetetide ter mikroproblematika, v manjši meri tudi ehinodermi, foraminifere, školjke ter mikrogastropodi. Določljivost vseh naštetih organizmov je zaradi dolomitizacije apnenca in njegove rekristalizacije težavna, v nekaterih primerih tudi nemogoča. V večini premerov so fisi prepoznavni le po konturah in njihovih mikritnih robovih (tab. 1, sl. 5). V septih koral je pogost kasnodiagenetski dolomit, ki je porozen in mestoma dedolomitiziran.

Pri določitvi sledeče grebenske združbe mi je pomagala Dragica Turnšek:

Korale – Corals

Myriophyllum mojsvari (Volz), tab. 2, sl. 7

Volzeia sublaevis (Münster), tab. 2, sl. 6

Protoheterastraea leonhardi (Volz), tab.

2, sl. 2

Margarosmilia confluens (Münster), tab.

2, sl. 5

Volzeia badiotica (Volz), tab. 2, sl. 1

Craspedophyllia alpina (Loretz), tab. 2, sl. 4

Margaropyhllia capitata (Münster), tab. 2, sl. 3

Spongije – Sponges

Cryptocoelia zitteli Steinman, tab. 3, sl. 1

Vesicocaulis sp., tab. 3, sl. 2

Solenolmia manon (Münster), tab. 3, sl. 4

Uvanella lamellata Senowbari – Daryan, tab. 3, sl. 3

Uvanella irregularis Ott, tab. 3, sl. 5

Leinia schneebergensis Senowbari – Daryan, tab. 3, sl. 7

Jablonskyia andrusovi (Jablonsky), tab. 3, sl. 6

Tolminothalamia carnica Senowbari – Daryan,

Zardinia retrosiphonata Senowbari – Daryan

Stromatoporoidi – Stromatoporoids

Stromatomorpha sp.

Spongiomorpha sp.

Hetetide – Chaetetids

Atrochaetetes cylindrica Turnšek & Buser 1989, tab. 3, sl. 4

Mikroproblematika – Microporematika

Tubiphytes obscurus Maslov, tab. 4, sl. 1

Bacinella ordinata Pantić, tab. 4, sl. 6

Plexoramea cerebriformis Mello, tab. 4, sl. 2

Bacanella floriformis Pantić,

Ladinella porata Ott

Alge – Algae

Marinella sp., tab. 4, sl. 3

Solenopora sp., tab. 4, sl. 4

Dasycladacea

Vrste koral, spongij in mikroproblematik, ki so bile determinirane, kažejo na karnijsko v glavnem cordevolsko starost in se v veliki meri lahko primerjajo z Dolomiti v Italiji (Leonardi, 1967, Fois & Gaetani, 1980) redkejša so nahajališča v Severnih Apneniških Alpah (Ott, 1967, Flügel, 1982) Hydra v Grčiji (Turnšek & Senowbari-Daryan, 1994), na Siciliji (Senowbari-Daryan et al., 1982) ter na Pamirju (Melnikova, 1975).

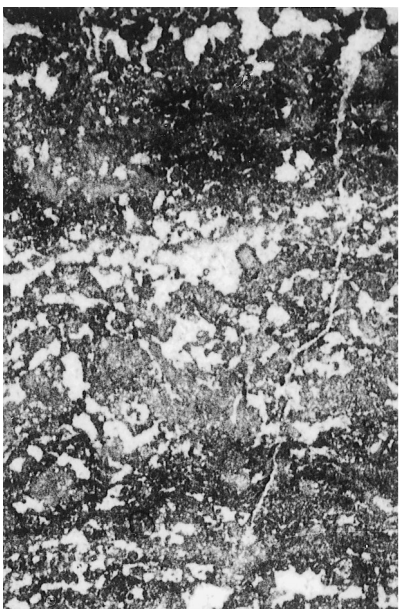
V Sloveniji je podobna fosilna združba znana še iz severnih Julijskih Alp (Turnšek & Ramovš, 1984), s Pokljuke (Turnšek & Buser 1989), Kamniških Alp ter iz Hudajužne (Senowbari-Daryan, 1981) in Jesenice pri Cerknem (Čar et al. 1981).

Zaključki

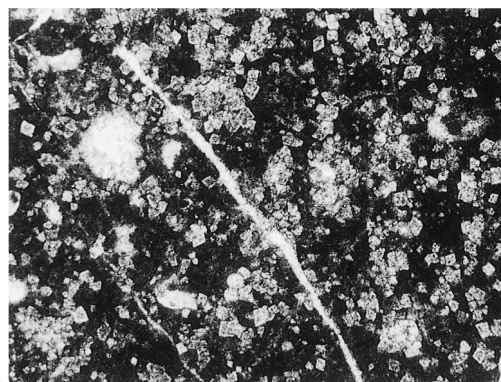
Po mikrofaciesu in litološkem razvoju raziskanih apnencev lahko sklepamo, da so na območju Pece wettersteinske plasti nastajale v podplimskem in medplimskem okolju sedimentacije. Za medplimsko okolje so značilne stromatolitne plasti in izsušitvene pore. Korozijske votlinice kažejo na kratkotrajne emerzijske faze in na paleozakrasvanje. Masivni grebenski apnenec je nastajal prav tako v zelo plitvem okolju z relativnim nizkim energijskim indeksom. Po pestri fosilni združbi, ki je kljub močni rekristali-

Tabla 1- Plate 1

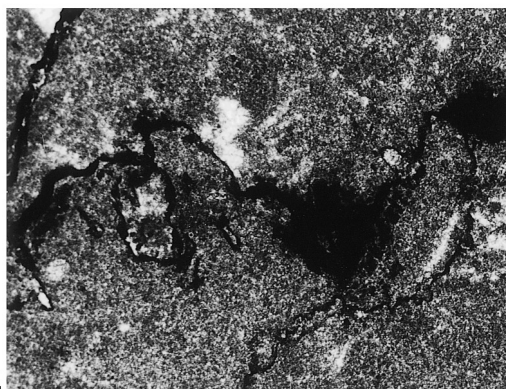
- 1 Stromatolitni apnenec z izsušitvenimi porami. P/5, 30x
Stromatolitic limestone with shrinkage pores. P/5, 30x
- 2 Mikritni onkoidi s sparitnim cementom dveh generacij (A - obrobni, B - mozaični). P/19-3, 10x
Micritic oncoids with two generations of sparitic cement (A - rim, B - mosaic). P/19-3, 10x
- 3 Drobni kasnodiagenetski dolomitni romboedri v mikritni osnovi. P/11, 30x
Small late diagenetic dolomite rhombs in micritic matrix. P/11, 30x
- 4 Rekristaliziran biomikritni apnenec s stilolitnimi šivi. P/25-2, 10x
Recrystallized biomicritic limestone with stylolitic seams. P/25-2, 10x
- 5 Rekristalizirane korale z mikritnim ovojem. P/25-2, 10x
Recrystallized corals with micritic envelopes. P/25-2, 10x



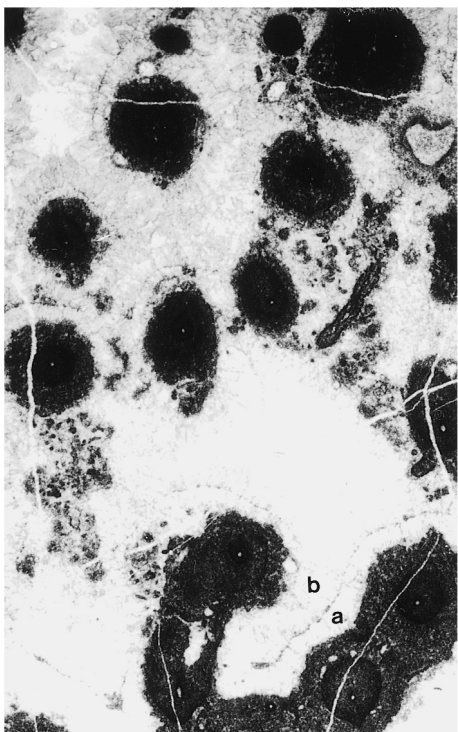
1



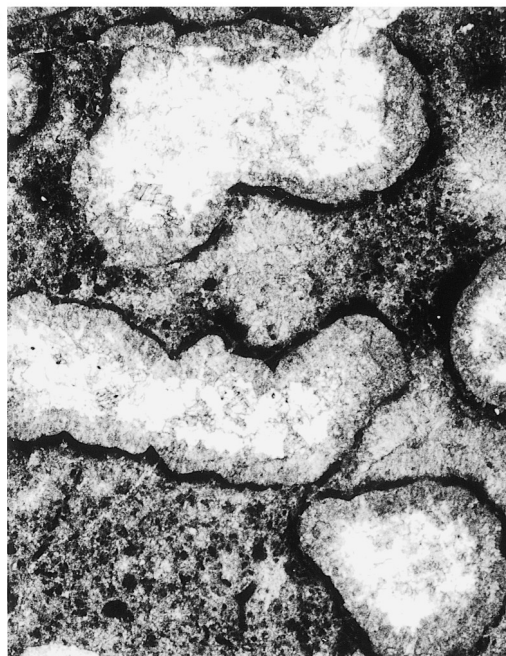
3



4



5



zacijsi kamnine dokaj številna, sklepamo, da je bila voda dobro prezračena.

Na območju Pece so se wetersteinske plasti odlagale v zagrebenskem in grebenskem okolju. Grebenski apnenec je značilen za zgornji del karbonatnega paketa in kaže, da lagunska sedimentacija ni bila na karbonatni platformi povsod enotna. Kljub številnim grebenotvornim organizmov tukaj ne gre za tipične sklenjene grebanske tvorbe, temveč za apnenec s posameznimi koralnimi čoki in krpmi (patch reefs). Masiv Pece je v zgornjem ladiniju in coredvolu predstavljal severni rob wetersteinske karbonatne plošče.

Carbonate rocks of Mt. Peca, Slovenia

Conclusions

Microfacies and lithologic development of examined limestones allow the conclusion about deposition of the Peca Wetterstein beds in sub- and intratidal depositional environments. Typical for subtidal environment are stromatolithic layers and desiccation pores. Corrosion vugs indicate short emersion phases and paleokarstification.

The massive reef limestone was deposited equally in very shallow environment of a relatively low energy index. The heterogeneous fossil assemblage, quite abundant in spite of radical recrystallization, indicates good water aeration.

The Wetterstein beds of Peca area were deposited in backreef and reef environments. The reef limestone, characteristic for the upper part of the carbonate package, indicates an uneven character of lagoon deposition on the carbonate platform. In spite of numerous reefbuilding organisms the reef structures were not of the characteristic massive type, but rather of isolated conical and patch reefs that are observed in the limestone. The Peca massif represented in Upper Ladinian and in Cordevol the northern margin of the Wetterstein carbonate platform.

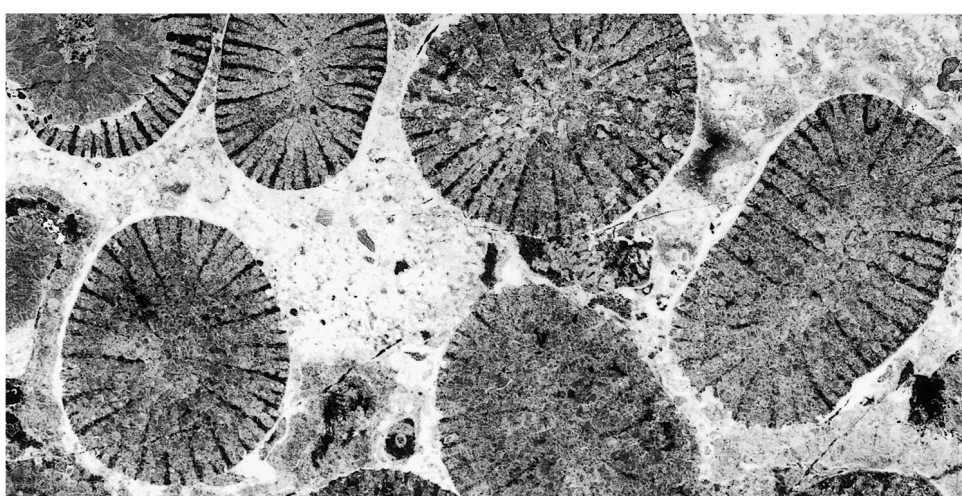
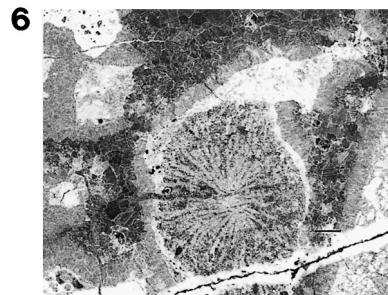
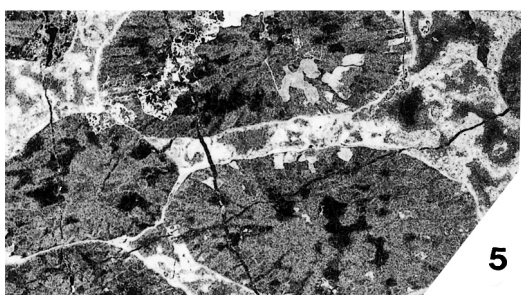
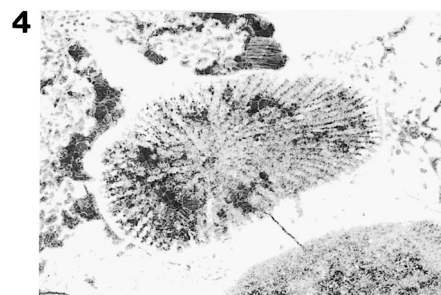
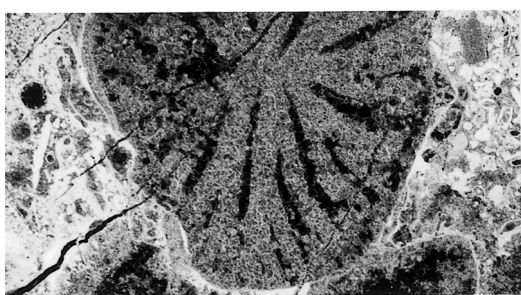
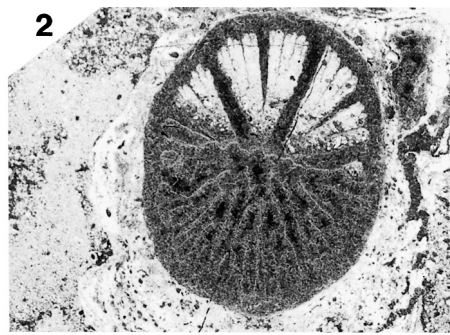
Zahvala

Najlepše se zahvaljujem akad. dr. Dragici Turnšek za določitev grebenskih organizmov in mikroproblematike. Prav tako velja zahvala Mihi Pungartniku za terensko pomoč in doc. dr. Bojanu Ogorelcu za kritični pregled članka.

Tabla 2 - Plate 2

- 1 *Volzeia badiotica* (Volz), P/50b, 5x
- 2 *Protoheterastraea leonhardi* (Volz), P/28-5, 5x
- 3 *Margarophyllia capitata* (Münster) P/57a, 5x
- 4 *Craspedophyllum alpina* (Loretz), P/51, 5x
- 5 *Margarosmilia confluens* (Münster), P/50c, 5x
- 6 *Volzeia sublaevis* (Münster), P/28-2, 5x
- 7 *Myriophyllum mojsvari* (Volz), P/17-2, 5x

Fotografije na tablah 2, 3 in 4 so negativi.
Photographs of the plates 2, 3 and 4 are negatives.



Literatura:

- Bauer, F.G. 1970: Facies und Tektonik des Nordstammes des Ostkarawanken von der Petzen bis zum Obir. – Jahrbuch Geol. B.A., 133, 189-247, Wien
- Čar, J., Skaberne, D., Ogorelec, B., Turnšek, D. & Placer, L. 1981: Sedimentological characteristics of Upper Triassic (Cordevoian) circular quiet water Coral bioherms in Western Slovenia, Northwestern Yugoslavia. In: Toomay (Ed.), European Fossil Reef Models. Soc. Econ. Paleontol. Mineral. Spec. Publ., 30, 233-240, Tulsa
- Fois, E. & Gaetani, M. 1980: The northern margin of Civetta buildup. Evolution during the Ladinian and Carnian. – Riv. Ital. Paleont., 68/3, 496-542, pls. 49-56, Milano
- Holler, H. 1936: Die Tektonik der Bleiburger Lagerstätte. – Carinthia II/7, 1-82, Klagenfurt
- Leonardi, P. 1967: Le Dolomiti. Geologia del monti tra Isarco e Piave. I, 1-557, Trento
- Melnikova, G. 1975: Pozdnetriiasovje skleraktinii Jugoo-Vostočnogo Pamira. Ed. Donit. Akad. Nauk Tadž. SSR, Inst. Geol., 1-236, Dušanbe
- Mioč, P. & Žnidarčič, M. 1983: Osnovna geološka karta SFRJ 1:100.000, Tolmač za list Ravne na Koroškem. – Zvezni geol.zavod, 69 pp., Beograd
- Ott, E. 1967: Segmentierte Kalkschwämme (Sphinctozoa) aus der alpine Mitteltrias und ihre Bedeutung als Riffbildner im Wettersteinkalk. – Bayer. Akad. Wiss., Math.Nat., Kl., Abh., N.F. 131, 1-96, Taf. 1-10, München
- Placer, L. 1996: Pecin nariv ob Periadriatskem lineamentu. – Geologija 39, 289-302, Ljubljana
- Pungartnik, M. 1977: Biostratigrafske razmere na južnem območju Pece. – Diplomska naloga, Arhiv FNT, Ljubljana
- Pungartnik, M., Brumen, S. & Ogorelec, B. 1982: Litološko zaporedje karnijskih plasti v Mežici. – Geologija 25/2, 237-250
- Ramovš, A. 1977: Geološki sprehod na Peco. – Proteus 40/2, 51-57, Ljubljana
- Ramovš, A. & Turnšek, D. 1984: Lower Carnian Reef Buildups in the Northern Julian Alps. Razprave IV.r. SAZU 25, 4, 163-200, Pl. 1-15, Ljubljana
- Štruc, I. 1962: Problematika raziskovanja svinčevno-cinkovih nahajališč na območju Slovenije.- Rud. Met.zb. 4, 361-364, Ljubljana
- Štruc, I. 1970: Stratigrafske in tektonske razmere v vzhodnem delu severnih Karavank.-Geologija 13, 5-20, Ljubljana
- Štruc, I. 1971: On the Geology of the Eastern Part of the Northern Karawakes with Special Regard to the Triassic Lead Zinc-Deposits. Sedimentology of parts of Central Europe, Guide book, VIII. Int. Sediment. – Congress, 285-301, Heidelberg
- Štruc, I. 1974: Nastanek karbonatnih kamnin in cinkovo svinčeve rude v anizičnih plasteh Tople. – Geologija 17, 299-397, Ljubljana
- Štruc, I. 1984: Geološke, geokemične in mineraloške značilnosti rude in prikamnine svinčevno-cinkovih orudjenj mežiškega rudišča. – Geologija 27, 215-327, Ljubljana
- Teller, F. 1896: Erläuterungen zur geologischen Karte der östlichen Ausläufer der Karnischen und Julischen Alpen (Ostkarawanken und Steiner Alpen). – K.K. geol. R.A., Wien
- Turnšek, D. 1997: Mezozoic Corals of Slovenia. SAZU, ZRC 16, 512pp., Ljubljana
- Turnšek, D., Buser, S. & Ogorelec, B. 1982: Carnian Coral-Sponge Reefs in the Amphicline Beds between Hudajužna and Zakriž (Western Slovenia). Razprave IV.r. SAZU, 24, 2, 51-98, Pl. 1-12, Ljubljana
- Turnšek, D. & Senowbari-Daryan, B. 1994: Upper Triassic (Carnian-Lowermost Norian) Corals from the Pantokrator Limestone of Hydra (Greece). – Abh. Geol. B.A., 50, 477-507, Wien

Tabla 3 - Plate 3

- 1 Cryptocoelia zitteli (Steinmann), P/20-1, 5x
- 2 Vesicocaulis sp., P/56c, 5x
- 3 Uvanelle lamellata Senowbari – Daryan, P/38, 5x
- 4 Solenolmia manon (Münster), P/16, 5x
- 5 Uvanella irregularis Ott, P/40a, 5x
- 6 Jablonskyia andrusovi (Jablonsky), P/38, 5x
- 7 Leinia schneebergensis Senowbari-Daryan, P/53c, 5x

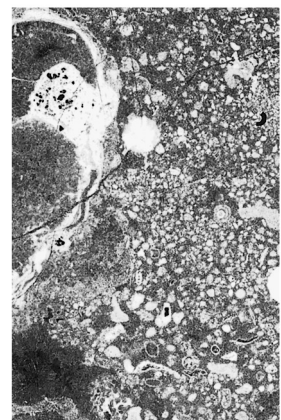
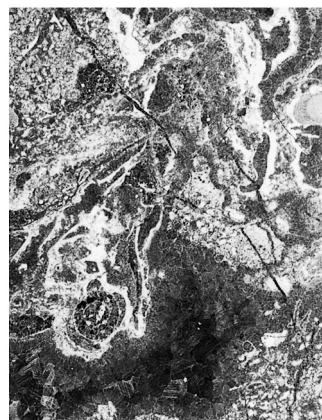
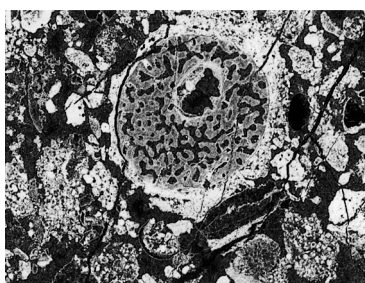
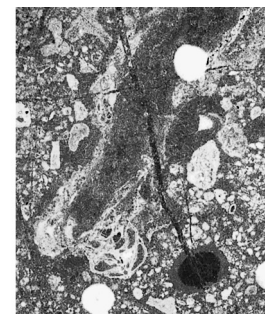
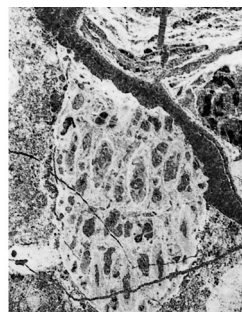
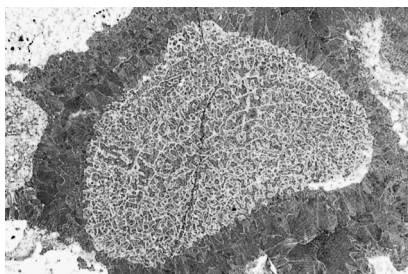


Tabla 4 - Plate 4

- 1 *Tubiphytes obscurus* Maslov, P/19-3, 5x
- 2 *Plexoramea cerebriformis* Mello, P/40-c, 5x
- 3 *Solenopora* sp. P/55-a, 5x
- 4 *Marinella* sp. P/38, 5x
- 5 *Atrochaetetes cylindrica* Turnšek & Buser, P/26-2, 5x
- 6 *Bacinella ordinata* Pantić, P/20-5, 5x

